



수신지점에서의 HF 대 전파잡음에 관한 조사 연구

$$r = \frac{Ps}{fa.K.To.b} = \frac{Ps}{Pn} \dots\dots\dots(3)$$

의 관계가 있으므로 Fa 는 중요한 파라미터가 된다.  
 완전도체지면상에서 짧은 수직 monopole 안테나를  
 수신안테나로 사용할 경우 안테나의 잡음지수 ( Fa ) 와  
 잡음전계강도 ( En ) 과의 관계는 다음과 같다. (4)

$$En(dB \mu V/m) = Fa + 20 \log_{10} f_{MHz} + B - 95.5 \dots(4)$$

따라서 저잡음수신기로써 En을 측정하면 Fa 산출이  
 가능하다.

(2) 잡음전압확률분포 (Amplitude Probability Distribution ; APD)

디지털통신이나 미약신호검출용 수신계통에 있어서는  
 일정레벨 이상의 impulse 성 잡음분포가 시스템의 error  
 rate 를 결정하므로 전파잡음의 강도뿐만 아니라 분포  
 특성도 고려해야 한다. APD는 이것에 대한 통계적  
 성질을 잘 나타내며 여기서는 잡음의 손서치를 시간에  
 대한 분포로서 APD 특성을 나타내었다.

$$A = \frac{n(V_i - V_0)}{N} \times 100(\%) \dots\dots\dots(5)$$

여기서 N : 단위시간당 표본수  
 n : (Vi - V0) 이 되는 표본수  
 Vi : 입력순서 전압  
 V : 기준전압

(3) 잡음 전압 실험치

측정된 잡음전압의 손서치에서 안테나의 잡음지수를  
 산출하는데 사용되며 다음과 같이 나타낸다.

$$V_{rms} = \sqrt{\frac{1}{N} \sum_{i=1}^N V_i^2} \dots\dots\dots(6)$$

여기서 N : 단위시간당 표본수  
 Vi : 입력순서 전압

3. 측정 및 처리 시스템

종래의 방법과는 다르게 microcomputer 를 유대  
 용으로 개조하여 측정과 통계작업을 현장에서 실시할 수  
 있도록 시스템을 구성하였다. 이 경우 측정시의 이상  
 상태 (외래통신 신호의 혼입, 기록레벨의 부적합) 등 연장  
 에서 발생하는 오차요인을 줄일 수 있는 장점이 있다.

(1) 측정 시스템

9 feet 의 단초수직 안테나에 수신된 잡음신호는

Preamplifier [ PRA ] 를 거쳐 수신기 [ REC ] 에서 IF  
 변환되고 검파기 [ DET ] 에서 포락선 검파된후 A/D conver-  
 ter [ A/D ] 에 입력된다.

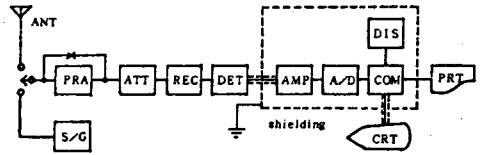


그림 1. Block diagram of the measuring and processing system

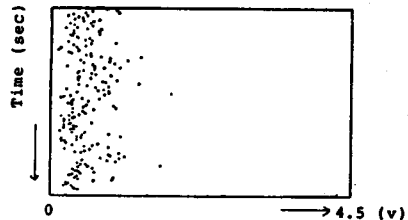


그림 2. The waveform after A/D converter

검파회로의 시정수는  $RC \ll \frac{1}{2\pi f_m}$  ( fm 은 통과최고  
 주파수 ) 에 의해 정해지나 측정에서는 5.6μs 로 했다.  
 CISPR 의 준리어치는 충전시간: 1ms, 방전시간: 160  
 ms 와 같이 긴 시정수로 지정되어 있으나 (6) 잡음신호의 손서  
 치로서 통계처리하는 것이 목적이므로 시정수를 바르게 했다.

(2) 처리시스템

A/D converter 에 입력되는 잡음신호의 입력전압  
 범위는 0-4.5 (V) 로 제한하였고 A/D 변환의 sampling  
 주파수는 10KHz 로 하였다. 이것에 의해 digitize 된  
 잡음신호는 6502 microprocessor 로 처리된후 Diskette  
 [ DIS ] 에 기록되며 필요에 따라 측정결과를 Printer  
 [ PRT ] 로 인쇄하거나 monitor [ CRT ] 로 나타낸다.

(3) 자체잡음에 대한 대책

Switching regulator, clock, diskdriver 등이  
 강력한 잡음원으로 되어 전도 및 방사로서 수신기에 방해  
 잡음신호가 전달되는 경우를 막기위해 microcomputer 와  
 주변기기를 shielding 처리가 된 동 case속에 넣어 각  
 동시켰고 AC 전원선을 통해 외래잡음신호가 전도되어 오  
 는 것을 막기위해 DC 전원으로 대체시켰다. 또한 Mon-  
 itor 에서 발생하는 고조파성분도 큰 잡음요인이 되므로  
 측정시에는 이것을 중지시켰다.

(4) Fa의 계산

잡음전압 실효치 ( $V_{rms}$ )로 부터 다음과 같이 산출

하였다. 즉 식(4)의 전계강도 En (dB $\mu$ V/m) 대신에  
감마출력 전압에 대한 실효치 (MR) 사용한다면

$$Fa = MR - G - 20 \log_{10} f_{MHz} - B + 95.5 + AF + CL - EH + RF \dots\dots\dots(7)$$

여기서 B = 10 log<sub>10</sub> b [Hz]

G : 수신기 전체 이득 [dB]

AF : 안테나 손실 [dB]

RF : RF ATT 에 의한 감쇄율 [dB]

CL : 급전선 손실 [dB/18m]

EH : 안테나 실효높이 [dB above 1m]

단소 수직안테나 (h $\ll$  $\lambda$ )가 양도체 평면위에 설치된 경우 그 실효높이는 반파장 다이올 안테나의 실제길이의  $\frac{1}{2}$  로서도 동작이 가능하므로 EH = 20 log<sub>10</sub> (9/2 x 0.308)  $\approx$  2.8 [dB] 가 되며 CL 은 실측 결과로서 1dB  $\pm$  0.5 이내로 나타났다.

4. 측정방법

신호발생기 (S/G) 로서 수신기의 레벨고정을 마친 다음 4개의 주파수대 (2MHz, 5MHz, 10MHz, 20MHz)로 측정주파수를 선정후 Monitor 상에서 잡음신호 이외의 방해파가 없는 주파수위치를 확인하면서 주.야간에 걸쳐 측정을 실시하였다.

5. 결 론

잡음진폭분포곡선 (+표: 실효치), 잡음전압확률분포

(APD) 곡선, 안테나의 잡음지수 (Fa)로서 측정지점에 대한 전파잡음 특성을 구체적으로 알 수 있었다.

주간보다 야간에서 더 많은 잡음이 측정되었음을 확인하였고 특히 작성된 Fa곡선을 통해 HF 대의 자연잡음에 대한 측정결과가 발표된 CCIR 보고서 322호의 것과 비교해 볼때 측정된 전파잡음은 분포형태는 대체로 비슷하나 잡음지수는 전반적으로 더 높게 나타났다. 이것은 인공잡음의 영향이 HF 대 전파잡음의 특성곡선에 큰 영향을 미치고 있음을 의미한다.

따라서 특정지점의 전파잡음환경에 관한 자료를 필요로 할때 공전잡음 측정결과에만 의존하지 말고 인공잡음의 영향도 함께 고려해야 한다.

\* 참고 문헌

1) CCIR REPORT 322, 'World Distribution and

Characteristics of Atmospheric Radio Noise", ITV Geneva, 1983

2) Wilfred R.Lauber, "Radio Noise Surveys at Canadian HF Communication Sites", IEEE. EMC, Vol. 19, P44, 1977

3) Earl C.Bolton, "Man-Made Noise Study at 76 and 200KHz", IEEE . EMC, Vol.18,P3, 1976

4) CCIR REPORT 670, "Worldwide Minimum External Noise Levels 0.1 to 100Hz", ITU Geneva, 1978

5) Nakai, "Result of Measurement of APD for Atmospheric Radio Noise and the Predicting Method", EMC-J78-52, P63, 1978

6) 荒木庸夫, "電磁妨害と防止対策", 東京電機大学出版局, P229, 1984

- 측정결과 -

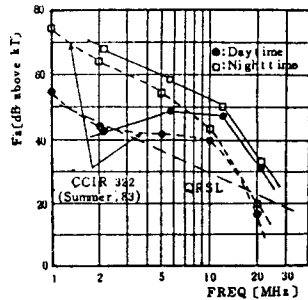


그림3. Medium Values of Fa factor versus frequency at Site

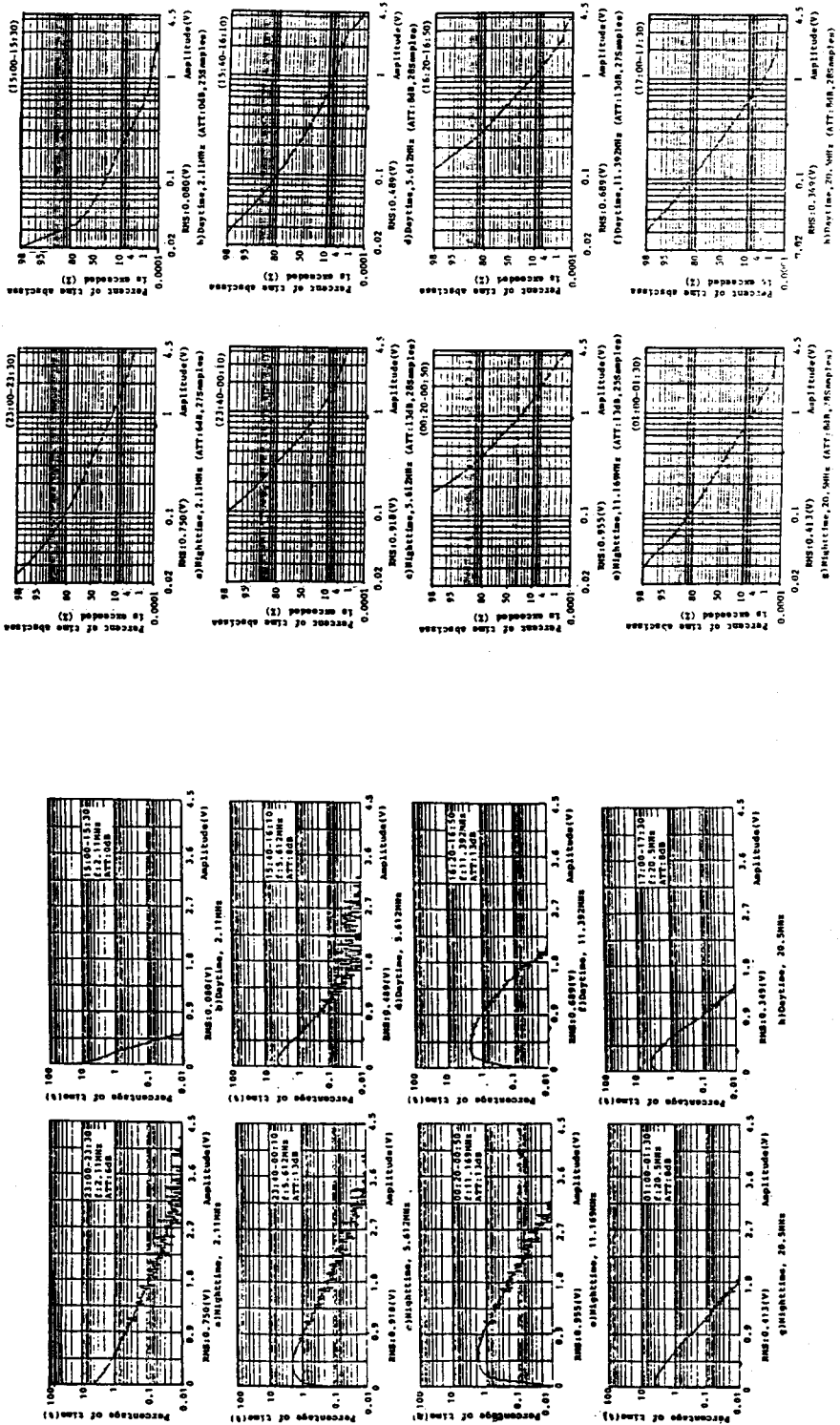


그림 4. Amplitude distribution of radio noise at site 2

그림 5. Amplitude probability distribution of radio noise at site 2